

Движение симметричного экипажа с массивными роликами на омни-колесах

К.В. Герасимов, А.А. Зобова, И.И.Косенко

Кафедра теоретической механики и мехатроники
Механико-математический факультет
МГУ им. М.В. Ломоносова

Ломоносовские чтения, 2017

План

Постановка задачи

Уравнения движения

Кинетическая энергия и лагранжиан

Структура уравнений - отличие от случая без роликов

Численное решение

Переход между роликами

Примеры. Сравнение со случаем без роликов

Постановка задачи

Рисунки

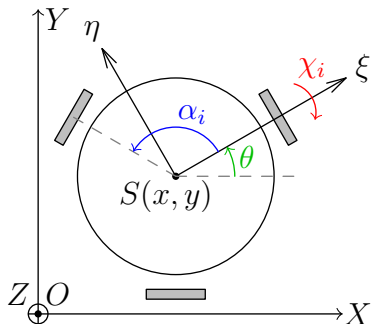


Рис.: Экипаж

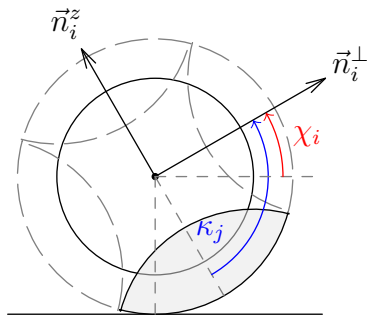


Рис.: Колесо

Постановка задачи

Тела, связи, степени свободы

- ▶ Экипаж состоит из платформы, N колес и n роликов, количество твердых тел:

$$1 + N(n + 1)$$

- ▶ Оси и центры колес и роликов неподвижны относительно платформы и колес соответственно
- ▶ Скорость точек контакта равна нулю:

$$\vec{v}_{C_i} = 0, i = 1 \dots N$$

- ▶ Количество степеней свободы:

$$3 + N(n - 1)$$

Постановка задачи

Координаты, псевдоскорости, связи

- Обобщенные координаты:

$q = (x, y, \theta, \chi_i, \phi_k, \phi_s)$, где $i, k = 1 \dots N$, s – ролики вне контакта.

- Псевдоскорости:

$$\nu = (\nu_1, \nu_2, \nu_3, \nu_s), \vec{v}_S = R\nu_1 \vec{e}_\xi + R\nu_2 \vec{e}_\eta, \nu_3 = \Lambda \dot{\theta}, \nu_s = \dot{\phi}_s$$

- Связи:

$$\dot{x} = R\nu_1 \cos \theta - R\nu_2 \sin \theta, \quad \dot{y} = R\nu_1 \sin \theta + R\nu_2 \cos \theta,$$

$$\dot{\theta} = \frac{\nu_3}{\Lambda}, \quad \dot{\chi}_i = \frac{R}{l}(\nu_1 \sin \alpha_i - \nu_2 \cos \alpha_i - \frac{\nu_3}{\Lambda}),$$

$$\dot{\phi}_k = \frac{R}{l \cos \chi_k - r}(\nu_1 \cos \alpha_k + \nu_2 \sin \alpha_k), \quad \dot{\phi}_s = \nu_s$$

План

Постановка задачи

Уравнения движения

Кинетическая энергия и лагранжиан

Структура уравнений - отличие от случая без роликов

Численное решение

Переход между роликами

Примеры. Сравнение со случаем без роликов

Кинетическая энергия и лагранжиан

- Присутствует аддитивный член, пропорциональный B – моменту инерции ролика относительно его оси собственного вращения:

$$2T = 2L = M\vec{v}_S^2 + I_S\dot{\theta}^2 + J\sum_i \dot{\chi}_i^2 +$$

$$+ B \sum_{i,j} (\dot{\phi}_{ij}^2 + 2\dot{\theta} \sin(\kappa_j + \chi_i) \dot{\phi}_{ij}),$$

$$M = \dot{M} + Nnm$$

$$I_S = \dot{I}_S + N \cdot n \left(\frac{A+B}{2} + mR^2 + \frac{mr^2}{2} \right),$$

$$J = \dot{J} + n(A + mr^2)$$

Кинетическая энергия и лагранжиан

- С учетом связей:

$$\begin{aligned} 2L^* = & \dot{\nu}^T \dot{V}^T \dot{M} \dot{V} \dot{\nu} + \\ & + B \sum_i \left(\frac{(\nu_2 \sin \alpha_i + \nu_1 \cos \alpha_i)^2 R^2}{\rho_i^2} + \right. \\ & \left. + \frac{2R\nu_3(\nu_2 \sin \alpha_i + \nu_1 \cos \alpha_i) \sin \chi_i}{\rho_i \Lambda} \right) \\ & + B \sum_{i,j} \left(\frac{2\nu_3 \nu_{ni+j} \sin(\kappa_j + \chi_i)}{\Lambda} + \nu_{ni+j}^2 \right) \end{aligned}$$

где $\frac{1}{2} \dot{\nu}^T \dot{V}^T \dot{M} \dot{V} \dot{\nu}$ – лагранжиан системы без роликов,
 $\rho_i = l \cos \chi_i - r$

Кинетическая энергия и лагранжиан

Матрицы кинетической энергии и связей для системы без роликов

$$\dot{M} = \text{diag}(M, M, I_S, J \dots J),$$

$$\dot{V} = \begin{bmatrix} R \cos \theta & -R \sin \theta & 0 \\ R \sin \theta & R \cos \theta & 0 \\ 0 & 0 & \frac{1}{\Lambda} \\ \frac{R}{I} \sin \alpha_i & -\frac{R}{I} \cos \alpha_i & -\frac{R}{I\Lambda} \end{bmatrix}$$

План

Постановка задачи

Уравнения движения

Кинетическая энергия и лагранжиан

Структура уравнений - отличие от случая без роликов

Численное решение

Переход между роликами

Примеры. Сравнение со случаем без роликов

Структура уравнений

Отличие от случая без роликов

- Уравнения Я.В. Татаринова:

$$\frac{d}{dt} \frac{\partial L^*}{\partial \nu_\alpha} + \{P_\alpha, L^*\} = \{P_\alpha, \nu_\mu P_\mu\},$$

$$\nu_\mu P_\mu = \dot{q}_i p_i, \quad p_i = \frac{\partial L}{\partial \dot{q}_i}$$

- Лагранжиан и “импульсы” отличаются аддитивными членами:

$$L^* = \dot{L}^* + BL_\Delta^*(\nu, \chi)$$

$$P_\alpha = \dot{P}_\alpha(\theta, p_x, p_y, p_\chi) + P_\Delta(p_{\phi_i}, \chi)$$

Структура уравнений

Отличие от случая без роликов

Утверждение

Учет массы роликов приводит к появлению в правой части дифференциальных уравнений, описывающих динамику экипажа, слагаемых, пропорциональных собственному моменту инерции роликов B и квадратично зависящих от псевдоскоростей. Эти новые слагаемые явно зависят от углов поворота колес χ_i .

$$\mathbf{A}\dot{\boldsymbol{\nu}} = \frac{1}{\Lambda} \begin{pmatrix} \nu_2\nu_3 \\ -\nu_1\nu_3 \\ 0 \end{pmatrix} + \mathbf{B} \begin{pmatrix} \boldsymbol{\nu}^T \mathbf{F}_1(\chi_i) \boldsymbol{\nu} \\ \boldsymbol{\nu}^T \mathbf{F}_2(\chi_i) \boldsymbol{\nu} \\ \boldsymbol{\nu}^T \mathbf{F}_3(\chi_i) \boldsymbol{\nu} \end{pmatrix}$$

$$\dot{\chi}_i = \frac{R \sin \alpha_i}{l} \nu_1 - \frac{R \cos(\alpha_i)}{l} \nu_2 - \frac{R}{l\Lambda} \nu_3, \quad i = 1..N$$

$$\Lambda \dot{\nu}_{ni+j} = -\dot{\nu}_3 \sin(\chi_i + \kappa_j) - \dot{\chi}_i \nu_3 \cos(\chi_i + \kappa_j), \quad j = 2..n$$

Структура уравнений

Отличие от случая без роликов

$$\mathbf{A}\dot{\boldsymbol{\nu}} = \frac{1}{\Lambda} \begin{pmatrix} \nu_2 \nu_3 \\ -\nu_1 \nu_3 \\ 0 \end{pmatrix} + \mathbf{B} \begin{pmatrix} \boldsymbol{\nu}^T \mathbf{F}_1(\chi_i) \boldsymbol{\nu} \\ \boldsymbol{\nu}^T \mathbf{F}_2(\chi_i) \boldsymbol{\nu} \\ \boldsymbol{\nu}^T \mathbf{F}_3(\chi_i) \boldsymbol{\nu} \end{pmatrix}$$

Доказательство:

$$\frac{d}{dt} \frac{\partial L^*}{\partial \nu_\alpha} = -\{P_\alpha, L^*\} + \{P_\alpha, \nu_\mu P_\mu\},$$

$$\frac{d}{dt} \frac{\partial}{\partial \nu_\alpha} (L^* - \dot{L}^*) = \mathbf{B} \frac{d}{dt} \frac{\partial}{\partial \nu_\alpha} L_\Delta^*(\nu, \chi),$$

$$\{P_\alpha, L^*\} - \{\dot{P}_\alpha, \dot{L}^*\} = \mathbf{B} \{P_\alpha, L_\Delta^*(\nu, \chi)\}$$

$$\rho_i = l \cos \chi_i - r, \quad \{P_\alpha, P_\mu\} - \{\dot{P}_\alpha, \dot{P}_\mu\} =$$

$$= \mathbf{B} \frac{R^2}{\Lambda} \sum_i \frac{f_\alpha(\nu, \chi)}{\rho_i^2} \left(\frac{R}{\rho_i} (\nu_1 \cos \alpha_i + \nu_2 \sin \alpha_i) + \frac{\sin \chi_i}{\Lambda} \nu_3 \right)$$

План

Постановка задачи

Уравнения движения

Кинетическая энергия и лагранжиан

Структура уравнений - отличие от случая без роликов

Численное решение

Переход между роликами

Примеры. Сравнение со случаем без роликов

Переход между роликами

Сложности и допущения

(1) Уравнения вырождаются на стыках роликов:

квадратичные формы \mathbf{F}_i терпят разрыв 2ого рода из-за выражений $(l \cos \chi_i - r)$ в знаменателе.

Пусть переход на следующий ролик будет раньше стыка.

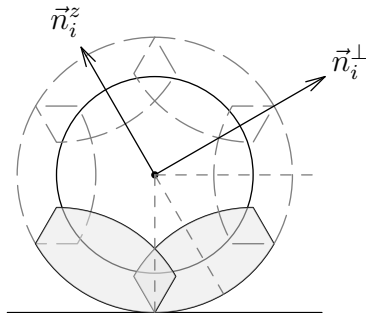


Рис.: Ролики перекрываются

Переход между роликами

Сложности и допущения

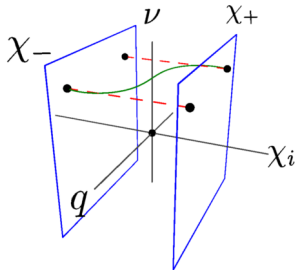
(2) Ролики входят и выходят из состояния контакта.

Будем рассматривать только движение роликов в контакте.

Отбросим уравнения

$$\Lambda \dot{\nu}_{ni+j} = -\dot{\nu}_3 \sin(\chi_i + \kappa_j) - \dot{\chi}_i \nu_3 \cos(\chi_i + \kappa_j), \quad j = 2..n.$$

При переходе сохраним значения ν_1, ν_2, ν_3 , а $\dot{\chi}_i$ пересчитаем по уравнениям связей.



План

Постановка задачи

Уравнения движения

Кинетическая энергия и лагранжиан

Структура уравнений - отличие от случая без роликов

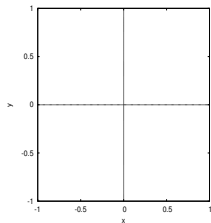
Численное решение

Переход между роликами

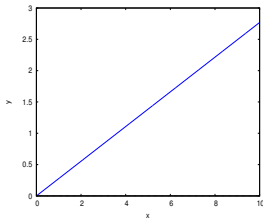
Примеры. Сравнение со случаем без роликов

Вращение вокруг своей оси ($\nu_{1,2}(0) = 0, \nu_3 = 1$)

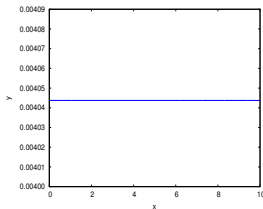
Экипаж без роликов



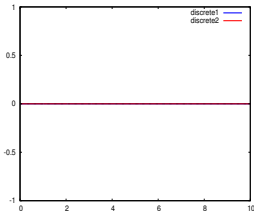
Траектория X, Y



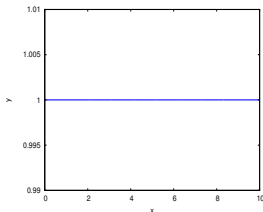
$\theta(t)$



Кинетическая
энергия



$\nu_1(t), \nu_2(t)$

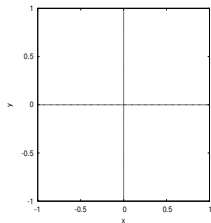


$\nu_3(t)$

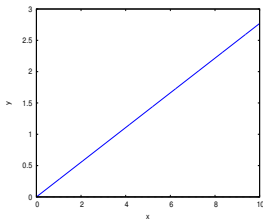
Центр экипажа
неподвижен,
скорость вращения и
энергия постоянны.

Вращение вокруг своей оси ($\nu_{1,2}(0) = 0, \nu_3 = 1$)

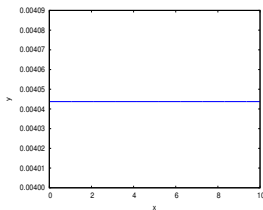
Экипаж с роликами



Траектория X, Y

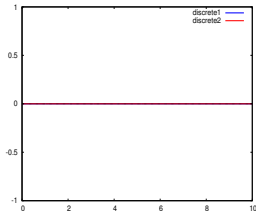


$\theta(t)$

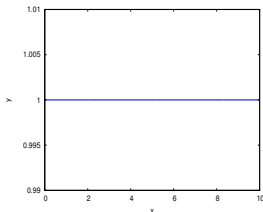


Кинетическая
энергия

Идентично случаю с
роликами.



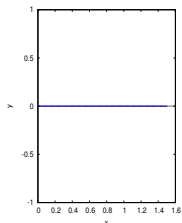
$\nu_1(t), \nu_2(t)$



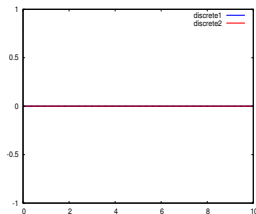
$\nu_3(t)$

Движение по прямой ($\nu_1(0) = 1, \nu_{2,3} = 0$)

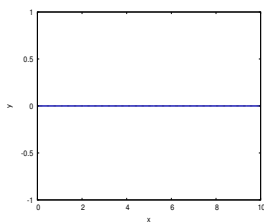
Экипаж без роликов



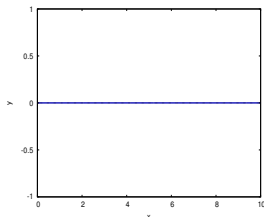
Траектория X, Y



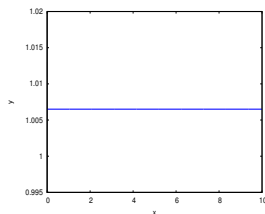
$\nu_{1,2}(t) - \nu_{1,2}(0)$



$\theta(t)$



$\nu_3(t)$

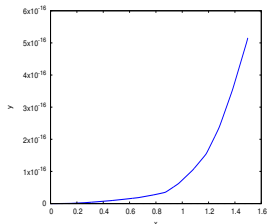


Кинетическая
энергия

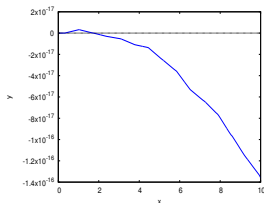
Экипаж равномерно
движется по прямой,
не вращаясь,
энергия постоянна.

Движение по прямой ($\nu_1(0) = 1, \nu_{2,3} = 0$)

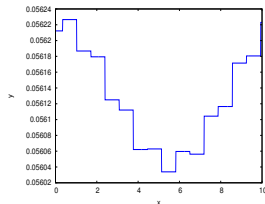
Экипаж с роликами



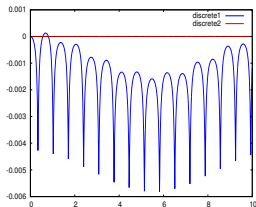
Траектория X, Y



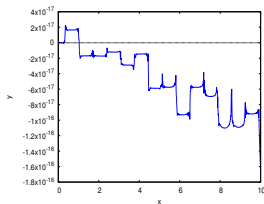
$\theta(t)$



Кинетическая
энергия



$\nu_{1,2}(t) - \nu_{1,2}(0)$

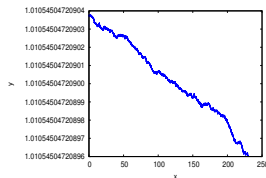
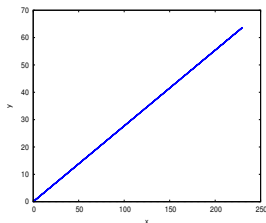
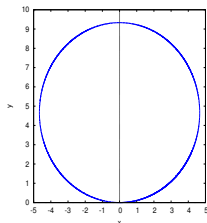


$\nu_3(t)$

Энергия и
псевдоскорость ν_1 не
постоянны.
Присутствует шум
по координатам.

Движение с закруткой ($\nu_1(0) = 1, \nu_2(0) = 0, \nu_3(0) = 1$)

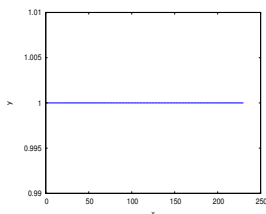
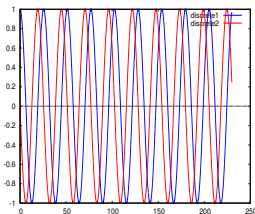
Экипаж без роликов



Траектория X, Y

$\theta(t)$

Кинетическая
энергия



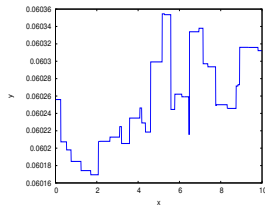
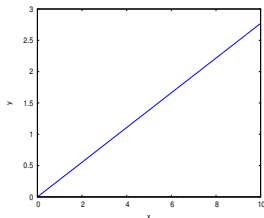
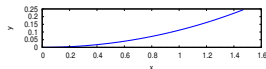
Экипаж движется по
окружности,
равномерно
вращаясь вокруг
своей оси.

$\nu_{1,2}(t) - \nu_{1,2}(0)$

$\nu_3(t)$

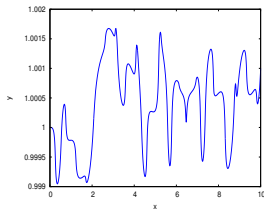
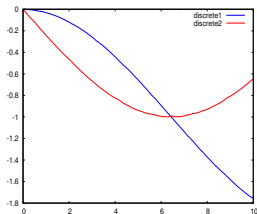
Движение с закруткой ($\nu_1(0) = 1, \nu_2(0) = 0, \nu_3(0) = 1$)

Экипаж с роликами



Траектория X, Y

$\theta(t)$



Кинетическая энергия

Энергия не постоянна. Биения в псевдоскоростях.

$\nu_{1,2}(t) - \nu_{1,2}(0)$

$\nu_3(t)$

Результаты

- ▶ Получены уравнения движения экипажа **с полным набором роликов** в неголономной постановке.
- ▶ Показано, что разница с уравнениями для системы без роликов пропорциональна моменту инерции ролика.
- ▶ Предложена модель перехода с ролика на ролик.
- ▶ Получены численные решения при неподвижных свободных роликах для симметричной конфигурации.

Спасибо за внимание!